

株式会社アライドエンジニアリング 秋葉 博

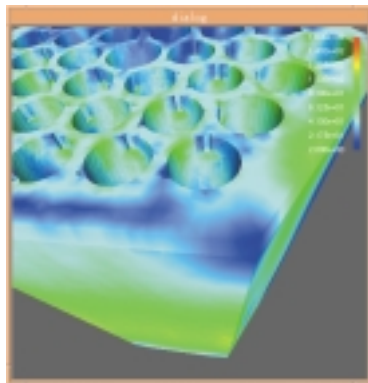


図2 弾性応力解析結果

株式会社日立製作所 小林 金也

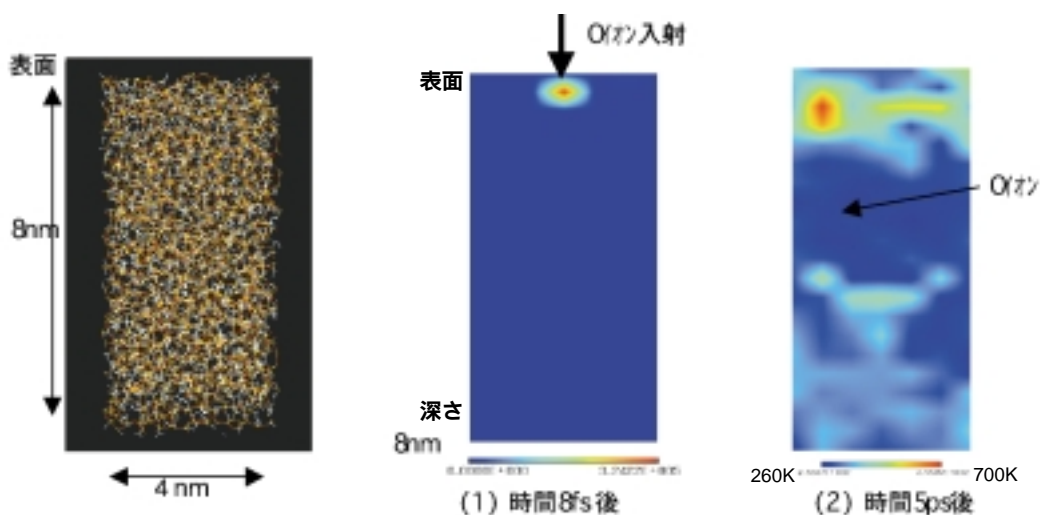


図2 SiOCH膜の動力学計算用の単位ユニット(4 × 4 × 8nm)

図3 酸素イオン入射後の温度分布の動力学計算結果

日本電気株式会社 高田 俊和

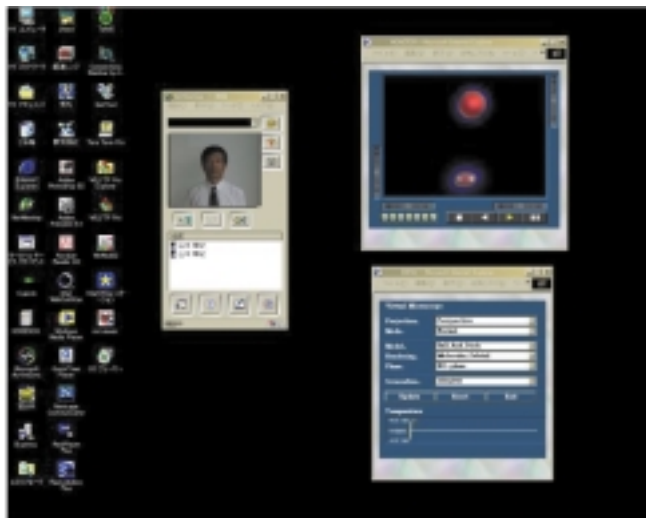


図1 GUIのブラウザ画面

名古屋大学 長岡 正隆

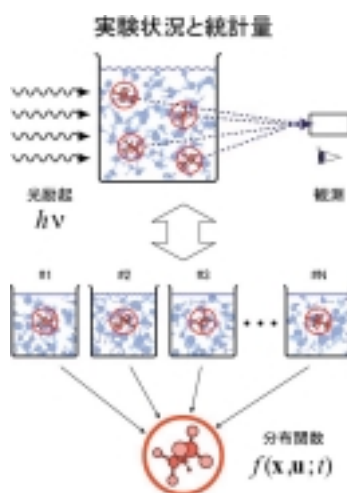


図1 緩和ダイナミクスの観測

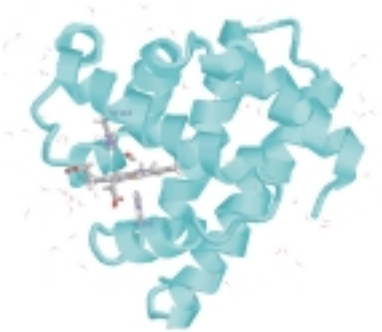


図3 CO結合型ミオグロビンの構造

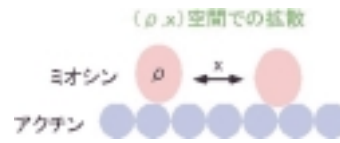


図4 タンパク質の秩序化 () 相対運動 (X) の結合による滑り運動

B 3

E-CELL:ゲノム情報に基づく細胞の再構築

慶応義塾大学 富田 勝

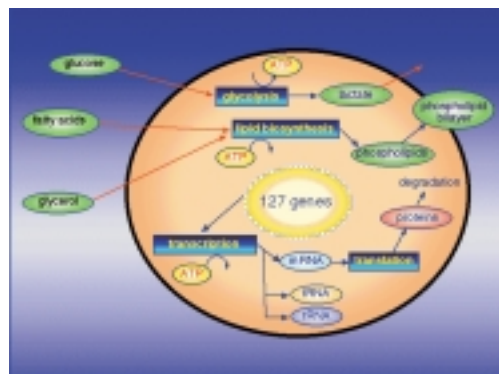


図1 E-CELLシステムを用いて構築した「バーチャル自活細胞」

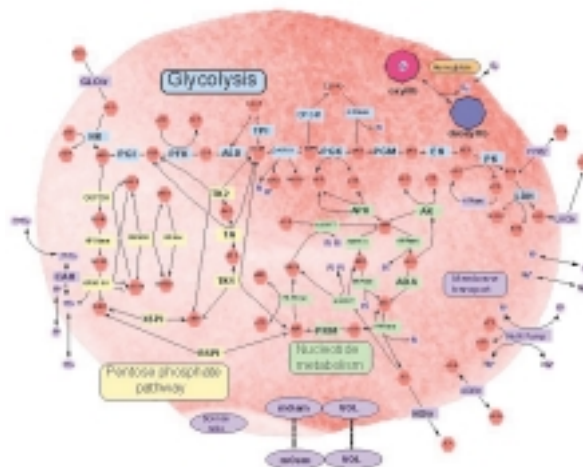


図2 E-CELLシステムを用いて構築したヒト赤血球モデル

国立遺伝学研究所 西川 建



図1 GTOの表示画面 大腸菌の個別遺伝子ファイルのトップページの例

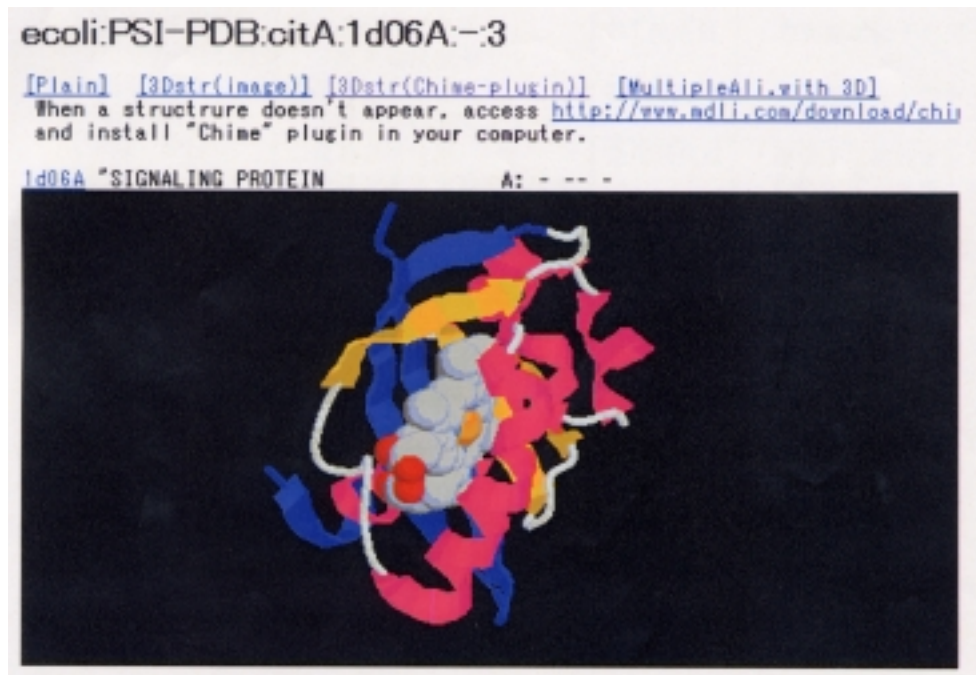


図2 予測された立体構造 図1の画面上でクリックすると表示される。

広島大学 岩田 末廣

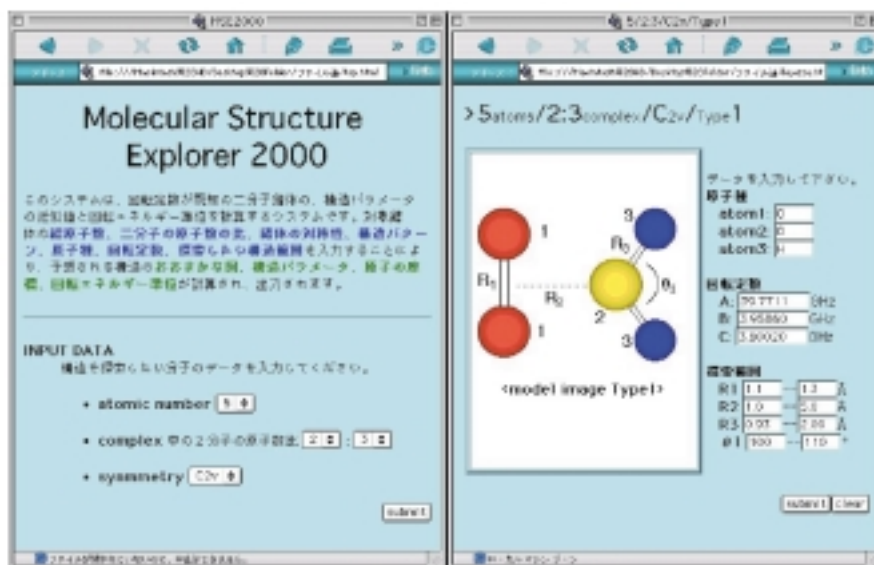


図3.2 WEB上での可視化例

財団法人 都市防災研究所 小川 雄二郎



図1 VENTEN as Platform

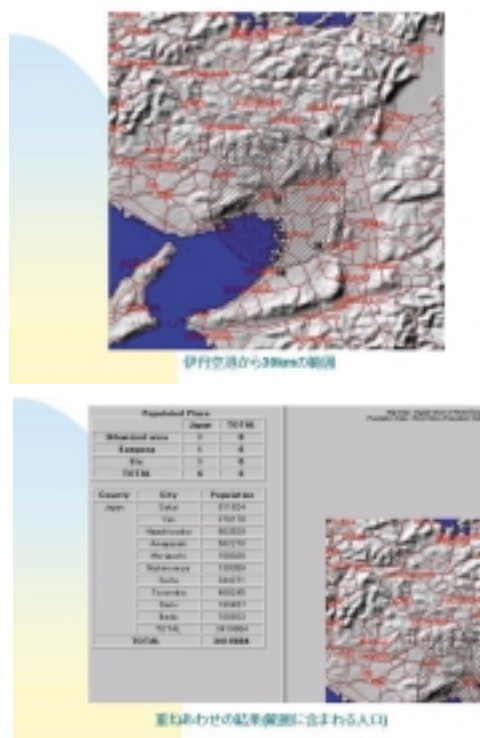


図3 バッファ作成例及び人口抽出結果

農林水産省 森林総合研究所 沢田 治雄



図1 NOAA、DMSP及びGISによる火災検知

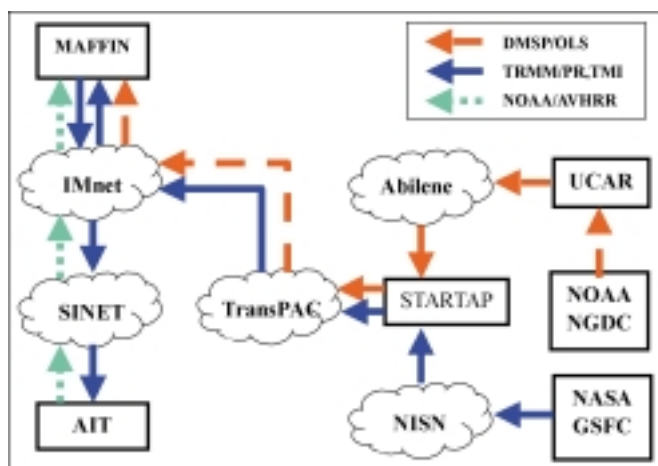


図2 高速ネットワーク